

INFECTION NEUROLOGIQUES ET CANCER

DES Neurologie

14 et 15 mars 2°14

Luc Taillandier

CHU Poitiers

Objectifs

Infection du SN et cancer

Situer épidémiologiquement la problématique

Préciser les situations à risques

Connaître les grands moyens de prévention

Appréhender les spécificités cliniques

Appréhender les spécificités LCR et radiologiques

Savoir évoquer les diagnostics différentiels

Appréhender les principales étiologies

Contexte

Améliorations thérapeutiques
Immuno-depression(s) -> infections

SN

Morbidité (hospitalisations, séquelles) + Mortalité
Δ selon cancer, traitement et facteurs associés
Affections fungiques + virales > bactéries

Démarche diagnostique +++



Place du neurologue

EPIDEMOLOGIE

FACTEURS DE RISQUE

PREVENTION

SPECIFICITES CLINIQUES

SPECIFICITES LCR ET IMAGERIE

DIAGNOSTIC DIFFERENTIEL

ILLUSTRATIONS

EPIDEMIOLOGIE

Leucémie ou lymphomes > tumeurs solides

Greffé de moelle

15 % des patients avec infection sévère du SN

Champignons – Parasites > virus > bactéries

Neurochirurgie

$\frac{3}{4}$ des méningites bactériennes ou fungiques

EPIDEMOLOGIE

FACTEURS DE RISQUE IMMUNOSUPPRESSION

PREVENTION DU RISQUE INFECTIEUX

SPECIFICITES CLINIQUES

DIAGNOSTIC DIFFERENTIEL

SPECIFICITES LCR ET IMAGERIE

ILLUSTRATIONS

Neutropénie (1g/l) Agranulocytose (0.5g/l)

Déficit quantitatif (CT) et qualitatif (hémopathies)

Risque selon durée

7 à 10 jours

infections bactériennes (CG+ et BGN, germes IC)

> 10 à jours

infections fungiques

Déficit immunité humorale

Absence de réponse Ac à une stimulation Ag

Diminution d'une ou n classes d'Ig

Mécanismes variés

Pathologies : MM, LLC

Thérapies : ex rituximab

Risques d'infections graves

Germes encapsulés (*S pneumoniae*, *N meningitidis*, *Haemophilus*)

Virus (VZV, HSV)

Déficit immunité cellulaire

Lymphopénie T ou B

Mécanismes variés (tumeurs, traitements)

T dépletions et traitements

Fludarabine - analogue purines - *Fludara® : LLC*

Alemtuzumab - anti CD52 (L, T, Monocytes et Macrophages) - SC

Mabcampath® : LLCB après chlorambucil et fludarabine

Lemtrada® : forme active de SEP rémittentes

Rituximab – antiCD20 (LB) - *Mabthera® : LNH – LLC - PR + PAM + G avec PA*

Bortezomid - inhibiteur protéasome - *Velcade® : MM*

Stéroïdes

Greffes allogéniques



infections virales/parasitaires (opportunistes) - **fungiques**

B dépletions (LLC, MM) ≈ immunité humorale

Infections bactériennes encapsulées

Haemophilus influenzae

Streptococcus pneumonia

Neisseiria meningitis

infections virales ou fungiques

Neurochirurgie

Méningites post opératoires et cancer

Rares tableaux complets

Faibles réactions cellulaires (<100 leucocytes)

Cocci Gram + > Gram - > infections fungiques

13% de mortalité à un mois

0.8 à 1.5 des craniotomies pour cancer

2/3 patients symptomatiques dans les 3 semaines

Neurochirurgie

Cathéters

> 10 % des cathéters

Début dans les 4 semaines après la chirurgie

Signes cliniques « décapités » (stéroïdes)

Péritonite

Cellularité parfois normale /culture positive

Ablation cathéter pour DVE

Foyers infectieux

Sinus

(aspergillose – mucormycose)

Dents

Poumons

(BK, nocardioses)

EPIDEMIOLOGIE
FACTEURS DE RISQUE

PREVENTION DU RISQUE INFECTIEUX

SPECIFICITES CLINIQUES
DIAGNOSTIC DIFFERENTIEL
SPECIFICITES LCR ET IMAGERIE
ILLUSTRATIONS

Vaccinations

Pneumocoque
Haemophilus
Grippe

Antibioprophylaxie et lymphopénie T

Cotrimoxazole

Valaciclovir

Durée du traitement

T4>200

Antibioprophylaxie et neutropénie

Discutée

Cas très particuliers

Autres prophylaxies

Facteurs de croissance hématopoïétiques G CSF

Augmentation de la dose intensité des CT

Réduction durée neutropénie, morbidité et mortalité infectieuse

CT < 10% - 10 à 20% - plus de 20%

Filgrastim Neupogen – Lenograstim Granocyte – pegfilgrastim Neulasta

Prophylaxie (primaire ou secondaire après J6/J9) ou traitement curatif

+ de 65 ans – R >20% - risque >10% + 1 FR

Perfusion d'iG polyvalentes

IgG> ou = à 5 g – LLC, MM + hypoGG + infections répétées

Isolement protecteur

Neutropénie < 500 – masque+surblouse+gants NS

Secteur protégé à air ultra filtré

EPIDEMOLOGIE
FACTEURS DE RISQUE
PREVENTION DU RISQUE INFECTIEUX

SPECIFICITES CLINIQUES

DIAGNOSTIC DIFFERENTIEL
SPECIFICITES LCR ET IMAGERIE
ILLUSTRATIONS

Tableau classique

Fièvre

Confusion - Troubles de la conscience - Epilepsie

Syndrome méningé - Nerfs crâniens

Tableau « décapité »

Rôle des immunosuppresseurs

Présentations SNC

Localisées

Abcès

Aspergillose ou toxoplasmose > bactéries (nocardia)

Infarctus septiques (parfois hémorragiques)

champignons vasotropes (aspergillose ou zygomycetes) ou virus

Encéphalites focales

Diffuses

Leptoménigites

Encéphalites

Méningo-encéphalites

virus > bactéries > champignons (candida, cryptococcoses)

Présentations SNC Vascularites

Bactéries	Virus	Champignons
<i>Streptococcus pneumoniae</i> <i>Salmonelles</i> <i>Mycoplasma pneumoniae</i> <i>Mycobacterium tuberculosis</i> <i>Treponema pallidum</i> <i>Borrelia burgdorferii</i>	<i>Hépatite C</i> <i>Cytomegalovirus</i> <i>Epstein-Barr virus</i> <i>VIH</i> <i>Parvovirus B19</i> <i>Virus varicelle-zona (VZV)</i> <i>Entérovirus</i> <i>West Nile</i>	<i>Actinomycoses</i> <i>Candida albicans</i> <i>Aspergillus</i> <i>Cryptococcus</i>

Présentations SNP - Muscles

Myosite proximale

Staphylococcus aureus

Streptococcus pneumoniae

Escherichia coli

Tableaux de « Guillain Barre » ou de CIDP

CMV – EBV

Nerfs crâniens + sinusite

Aspergillus

Mucoraceae

EPIDEMIOLOGIE
FACTEURS DE RISQUE
PREVENTION DU RISQUE INFECTIEUX
SPECIFICITES CLINIQUES
DIAGNOSTIC DIFFERENTIEL

SPECIFICITES LCR ET IMAGERIE

ILLUSTRATIONS

Particularités LCR

50000 plaquettes

↓ réaction inflammatoire avec immunodépression

Particularités neuro-imagerie

Stéroïdes et ↓ des pdc

Vacularites infectieuses

(VZV, CMV, mycobactéries, mucormycoses,
aspergilloses, candidoses, cryptococcoses)

Anévrismes mycotiques

(aspergillus, endocardites)

Infections

Leuco encéphalopathies	AVC	Encéphalites limbiques	Syndrome de masse focal	Atteintes tronc cérébral
LEMP	Endocardites	HSV 1 et 2	Aspergillose	Listeria
	Vascularites	HHV 6	Abcès pyogènes <i>S Aureus</i> <i>Bacteroides sp</i> <i>P acnes</i> <i>Nocardia asteroides</i>	Cryptococcose
	VZV		Toxoplasmose	VZV
	Aspergillose		Candidose	LEMP
	Mucomycose		Lymphome EBV induit	
	CMV		BK	

Pathologies non infectieuses associées au cancer

Leuco encéphalite	AVC	Encéphalite limbique	Syndrome de masse focal	Atteinte tronc cérébral
IRIS « Immune Reconstruction Inflammatory Syndrome »	RRA « Radiation Related Arteriopathy »	Hashimoto	IRIS	Encéphalopathie de Wernicke
PRES	NBTE	Syndrome paranéoplasique Anti HU, Ma, NMDA R, VGKC	Tumeurs secondaires	Démyélinisation osmotique
ADEM	Vascularite	Etat de mal	Radionécrose	PRES
RT			Pseudo progression	GvHD
Amphotéricine B Valproate Rituximab				Radionécrose

EPIDEMIOLOGIE
FACTEURS DE RISQUE
PREVENTION DU RISQUE INFECTIEUX
SPECIFICITES CLINIQUES
SPECIFICITES LCR ET IMAGERIE

DIAGNOSTIC DIFFERENTIEL

ILLUSTRATIONS

Diagnostic différentiel Place du neurologue

Atteinte néoplasique

Neurotoxicité des traitements

leucoencéphalopathies, pseudoprogression ...

Méningites lymphocytaires médicamenteuses

Valacyclovir, cotrimoxazole, CT IT, céphalosporines

azathiprine, isoniazide, IgIV, AINS

Etat de mal épileptiques

Pdc méningées diffuses après PL

Modifications radiologiques induites par épilepsie

Démarche diagnostique

Place du neurologue

Histoire

Examen clinique

Imagerie : IRM > scanner

Diffusion + multimodalité

infection/tumeur/complication RT ou CT

LCR

Autres prélèvements microbiologiques

Ex Poumon/aspergillose, rétine/CMV, sang/listeria

EEG

Biopsie cérébrale / Décompression

**EPIDEMOIOLOGIE
FACTEURS DE RISQUE
PREVENTION DU RISQUE INFECTIEUX
SPECIFICITES CLINIQUES
LCR ET IMAGERIE
DIAGNOSTIC DIFFERENTIEL**

ILLUSTRATIONS

INFECTIONS FUNGIQUES

Affections fungiques

Aspergillose (1)

Augmentation de fréquence

Amélioration diagnostiques + patients lourdement immunodéprimés

Abcès > méningites

A fumigatus > *A Flavus*

Mécanismes

Hématogène (infarctus CA ou CM)

Invasion directe par foyers sinusiens

Enjeu

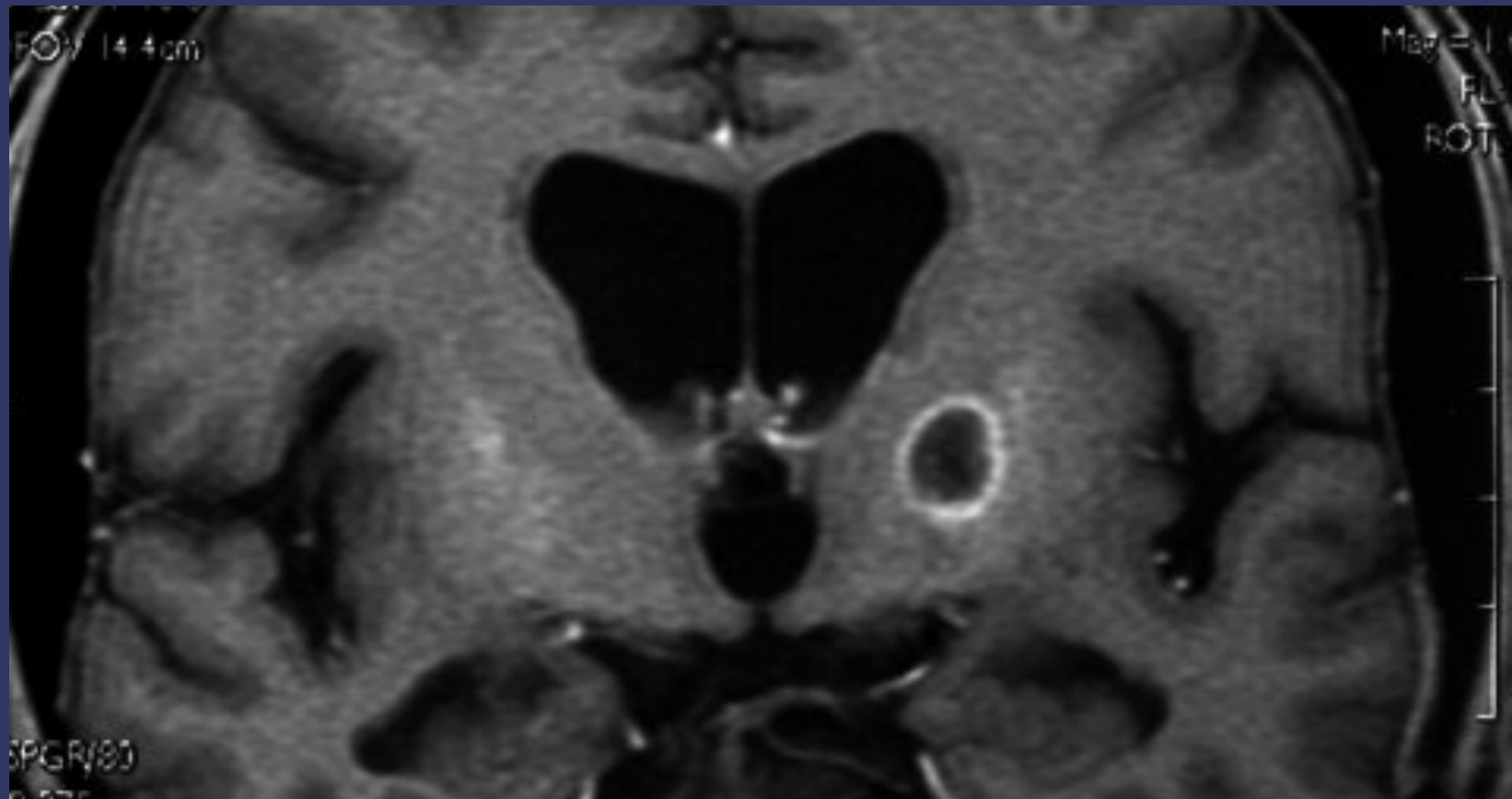
Détection précoce

Evolution

Mortalité sévère (jusqu'à 100 % dans certaines séries)

Affections fungiques

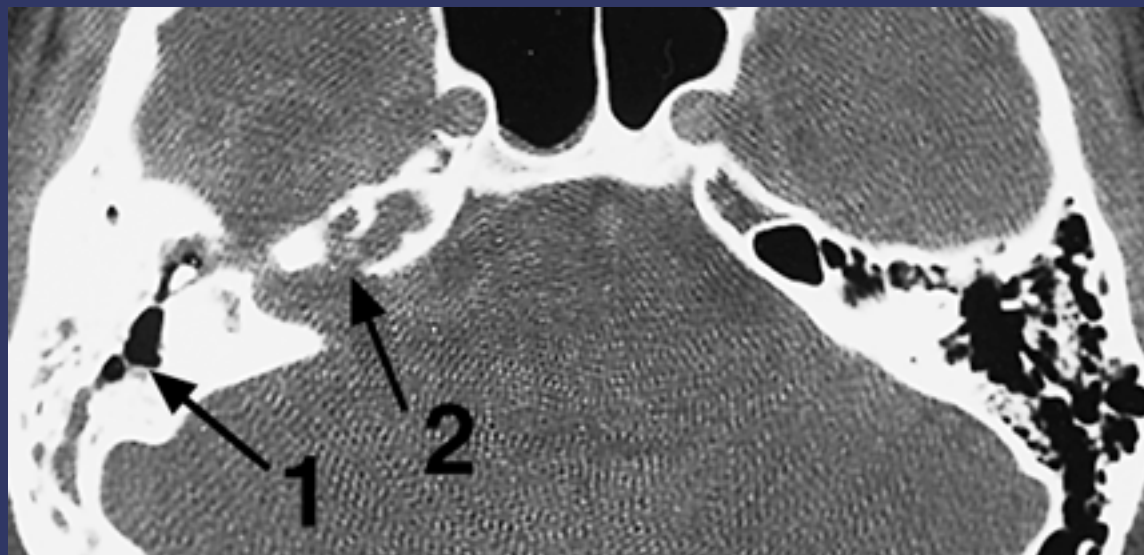
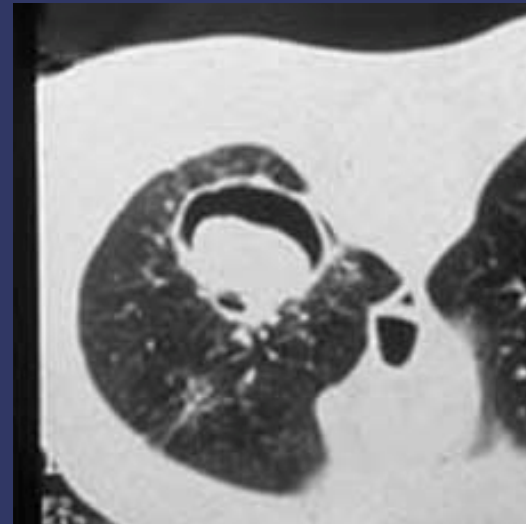
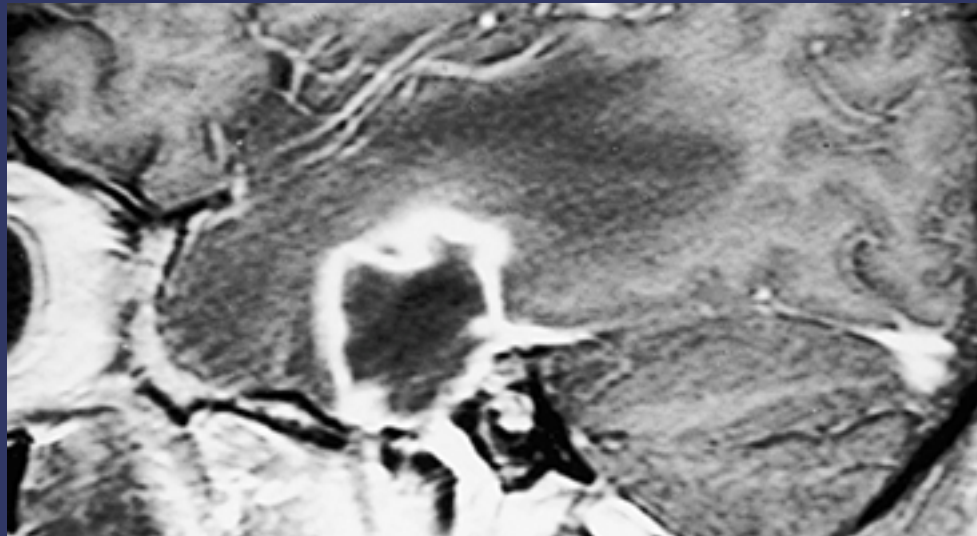
Aspergillose (2)



Iconographie UMVF

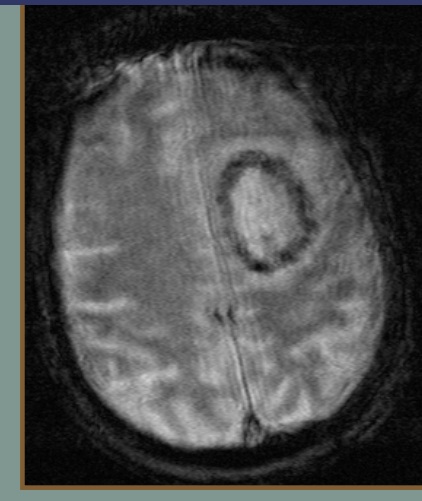
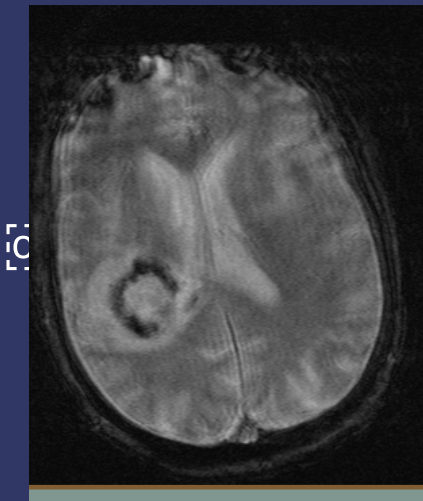
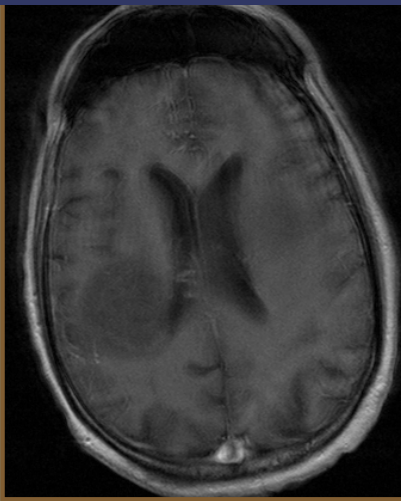
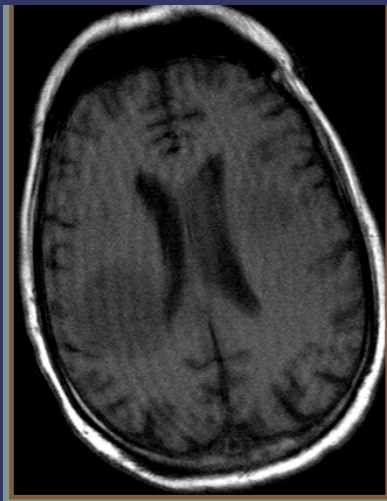
Affections fungiques

Aspergillose (3)



Affections fungiques

Aspergillose (4)



Candidoses (1)

Localisations encéphaliques

1 à 5 % candidoses systémiques

Types

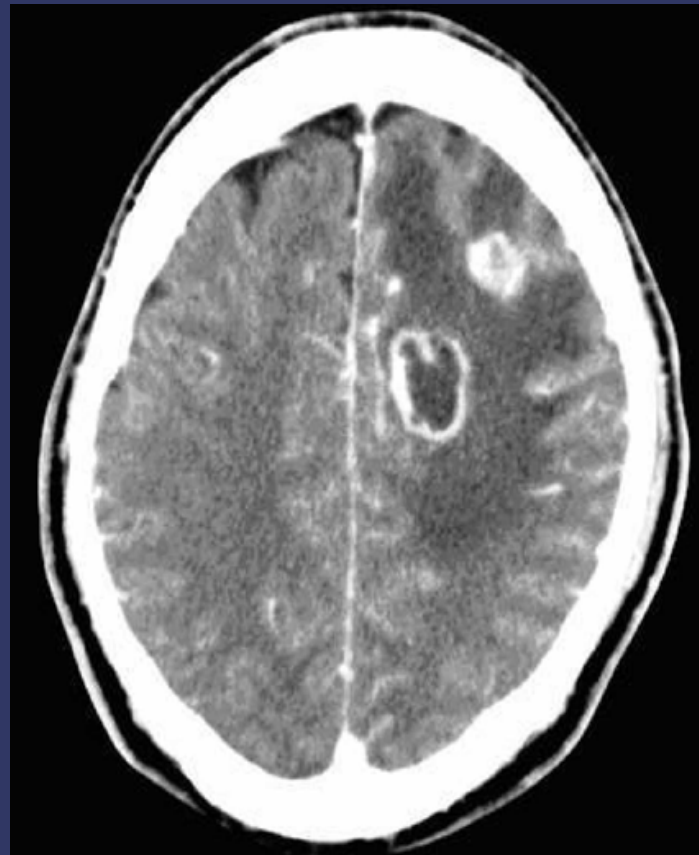
C albicans > *glabrata*>*parapsilosis, tropicalis, krusei*

Tableau

Méningites, micro ou macroabcès, vascularites

Affections fungiques

Candidoses (2)



Cryptococcose neuroméningée (1)

Cryptococcus neoformans

Déficit T – stéroïdes au long cours

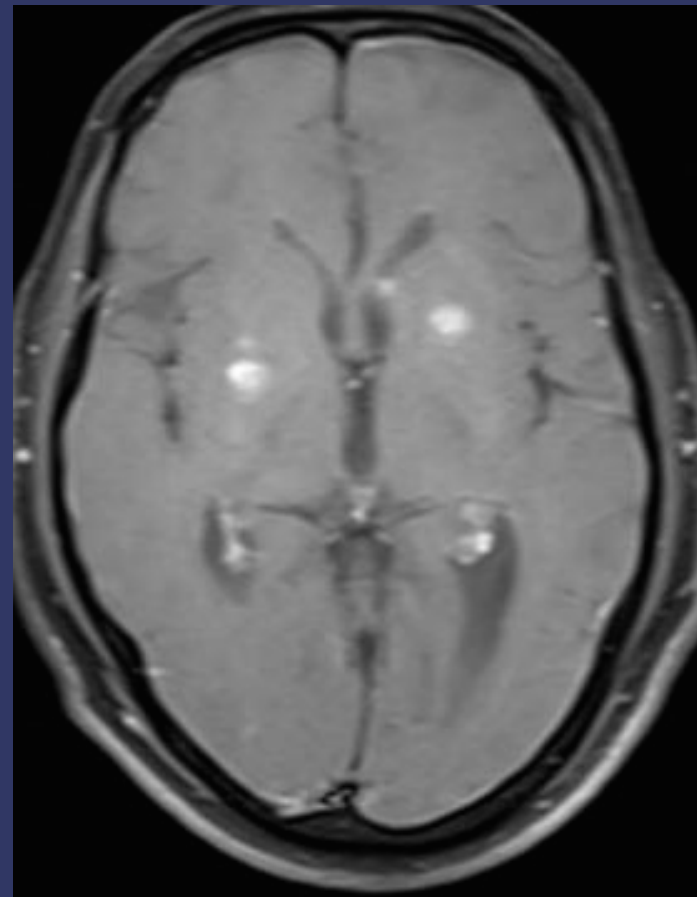
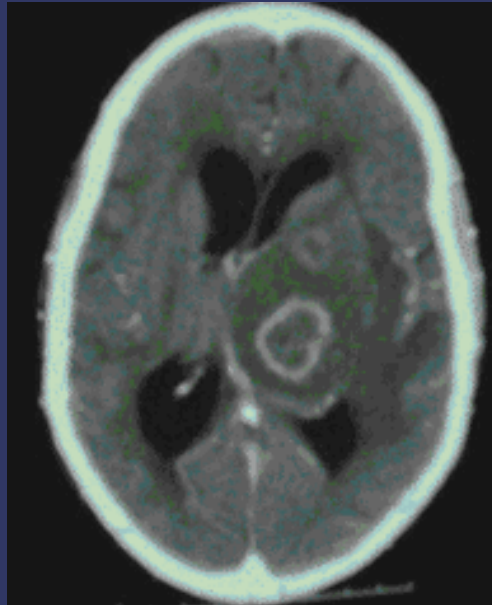
Poumon puis SN

Méningite fébrile subaiguë ou abcès

Hydrocéphalie obstructive

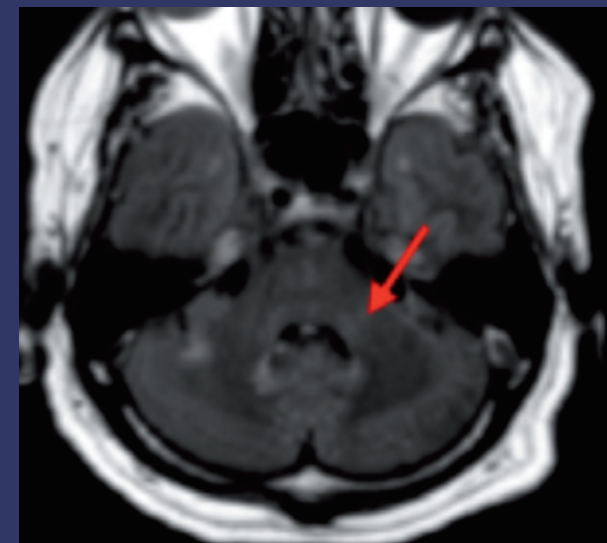
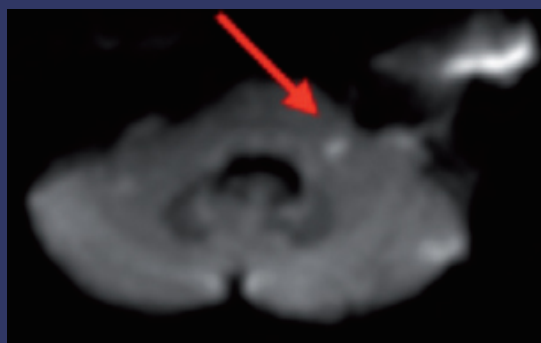
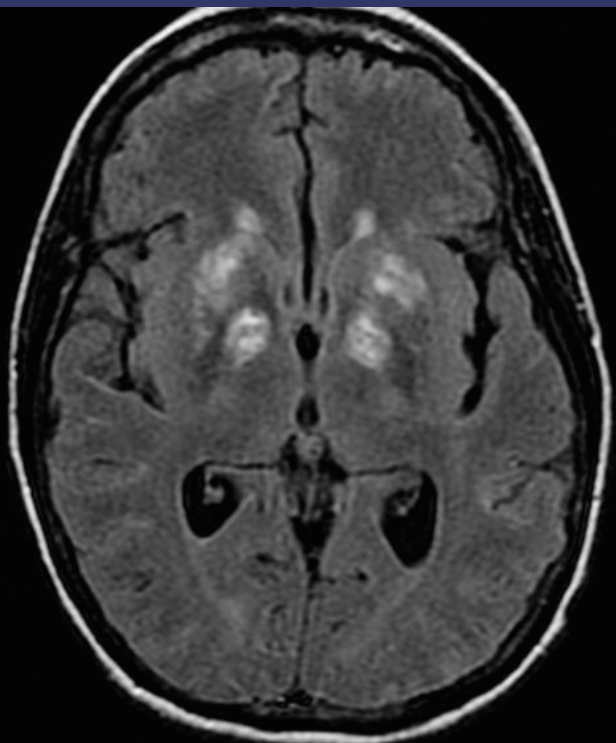
Baisse brutale AV

Cryptococcose neuroméningée (2)



*Sidanet, Souksouna G et al 2006
Sidasciences Fener P et al 2014*

Cryptococcose neuroméningée (3)



Affections fungiques

Zygomycètes (1)

Agents

Rhizopus, mucor, rhizomucor, cunninghamella, absidia

Points de départ

sinusien ou respiratoire

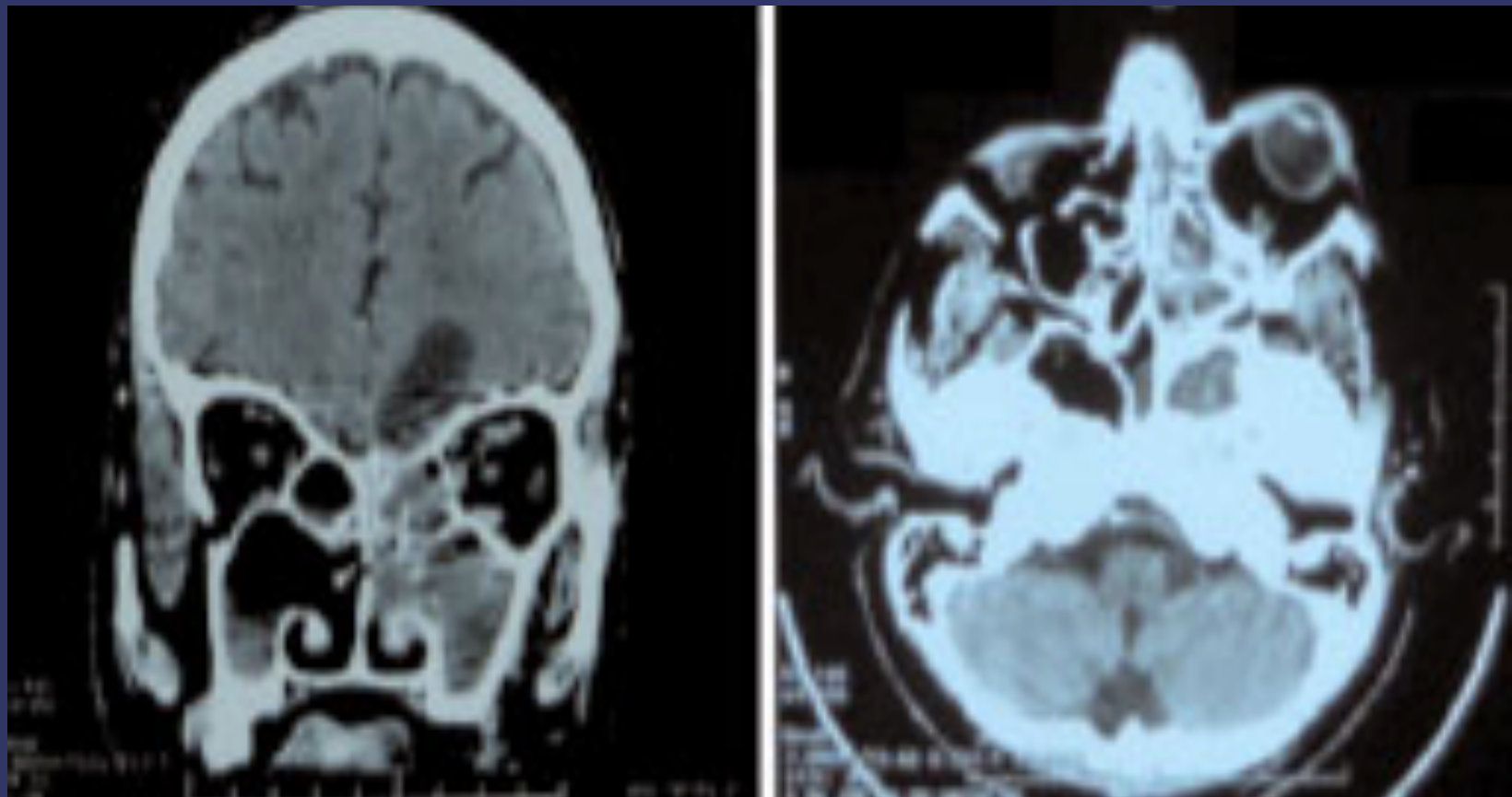
Douleur faciale, céphalées, cécité, thrombose carotide

Evolution

Invasion vasculaire (infarctus hémorragiques)

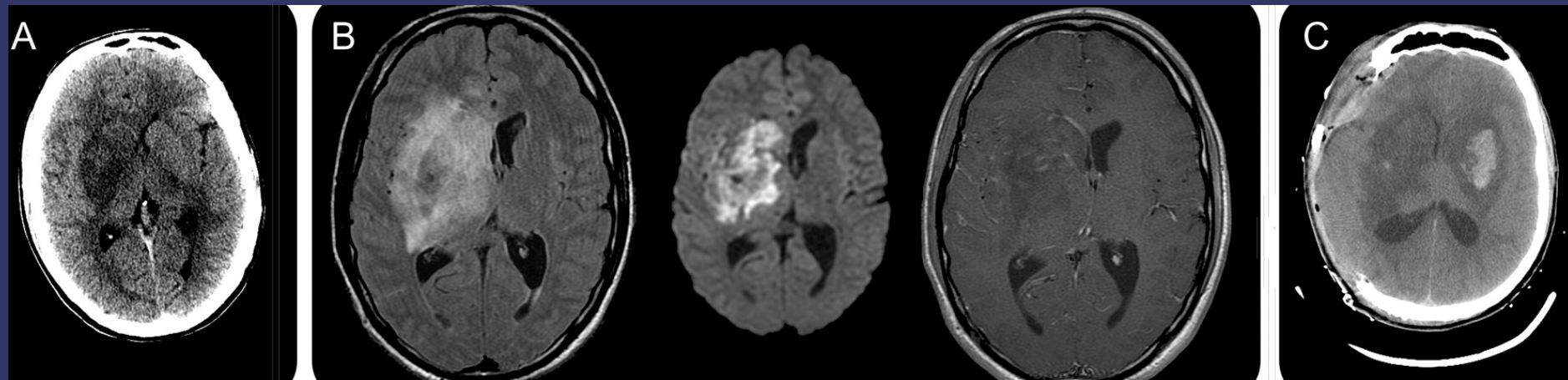
Affections fungiques

Zygomycetes (2) Mucormucose



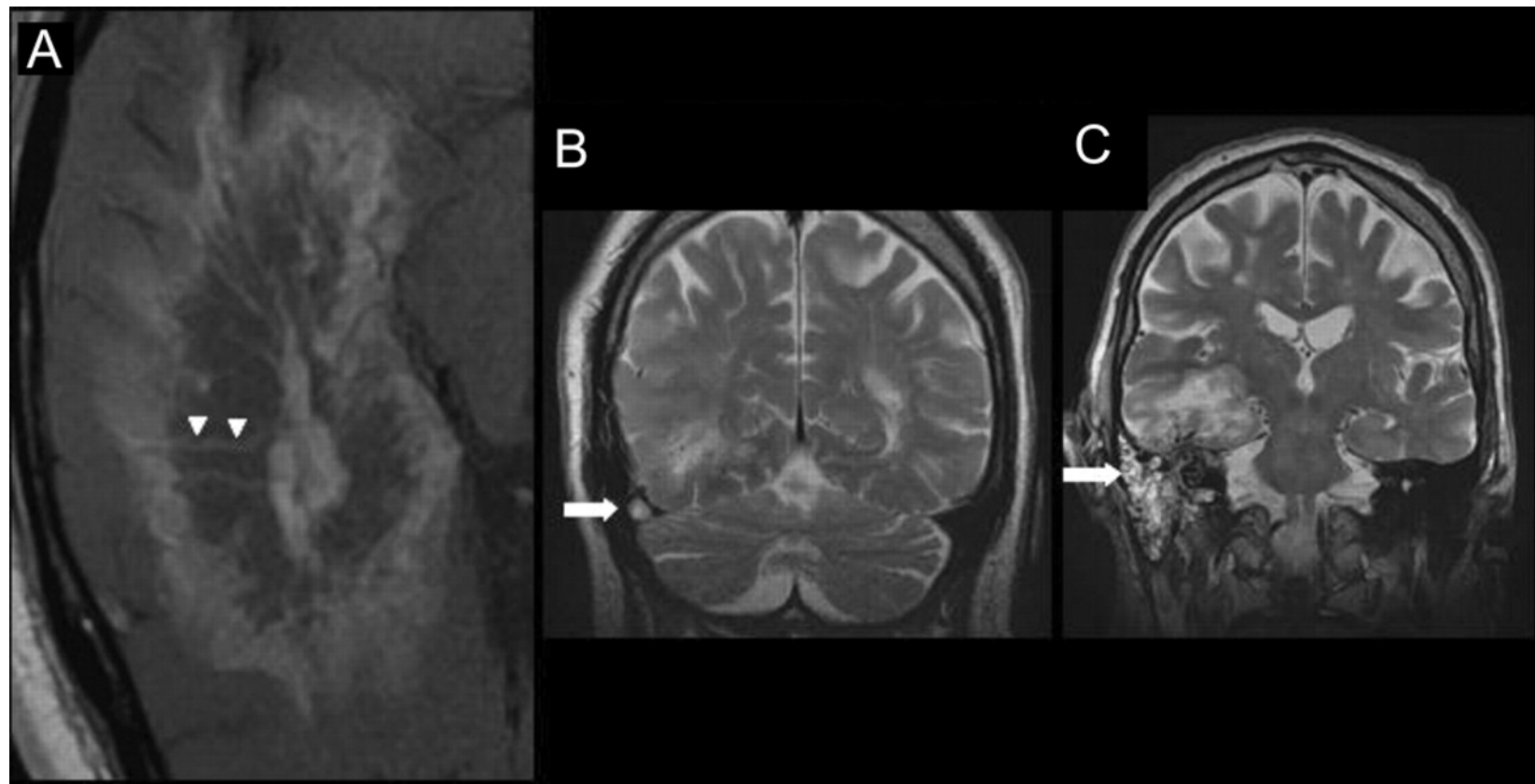
Affections fungiques

Zygomycetes (3) Mucormucose



Clark D et al Neurology 2011

Figure MRI aspects of cerebral mucormycosis Axial enhanced T1-weighted image (A, magnification of the right temporal lobe $\times 3$) and coronal T2-weighted images (B and C) revealed infiltrative T1 hypointense and T2 hyperintense lesion in the right temporal lobe, with peripheral serpiginous and radial strands enhancement (arrowheads, A).



Dussaule C et al. Neurology 2012;78:e93



INFECTIONS VIRALES

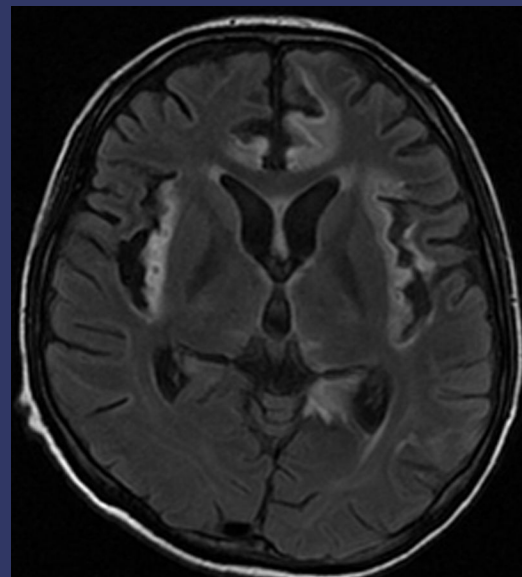
Infections virales

HSV - Encéphalite herpétique

Rare car prévention

Forme inhabituelle

Si survenue évoquer résistance acyclovir



Infections virales

Varicelle Zona (1)

Déficit T - Stéroïdes - bortezomib/MM

Zona (jusqu'à 3 dermatome)

Infections disséminées

Méningites, méningoencéphalites,
névrites craniennes (III), radiculites,
polyradiculoneuropathies

myélites/infractus médullaires, AVC i ou H,
nécrose rétinienne, Zoster sine herpete

Pas toujours de méningites

Infections virales

Varicelle Zona (1)

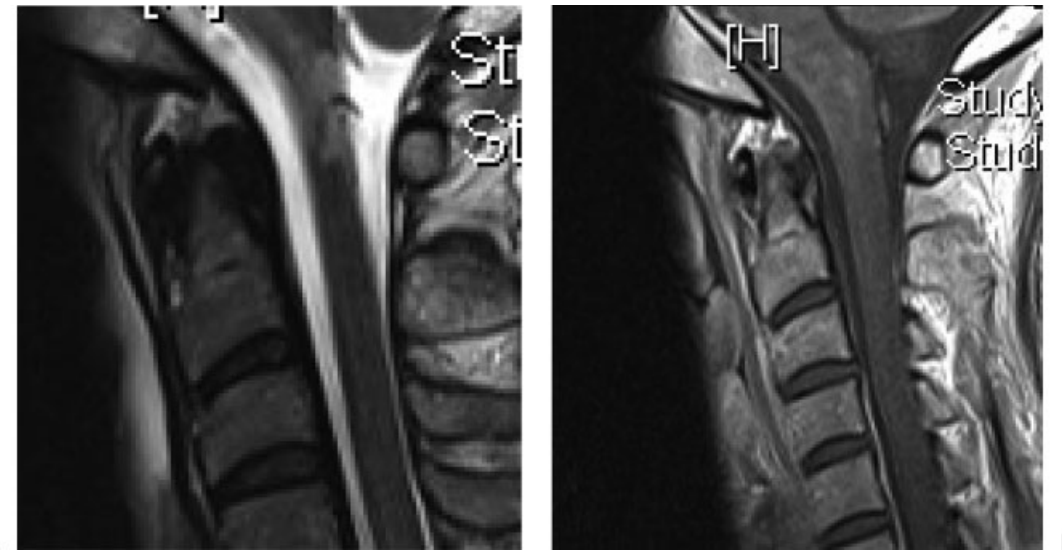
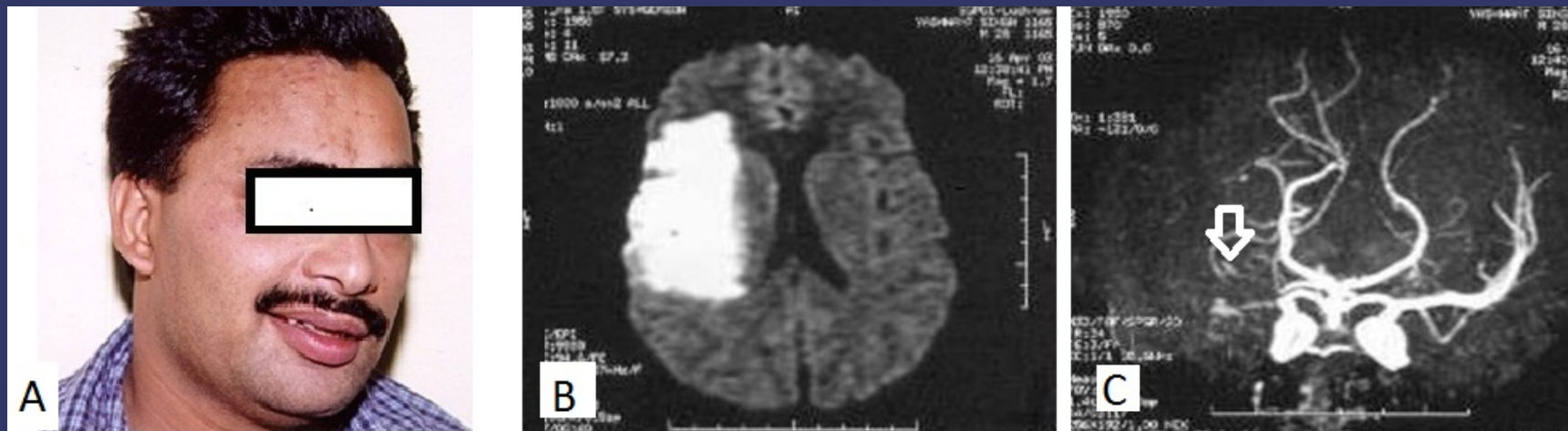


Figure 4 Varicella zoster (VZV) infection. This patient developed acute onset of quadriplegia with rapid evolution to locked-in state. Cerebrospinal fluid (CSF) showed >1000 white blood cells with polymorphonuclear leukocyte predominance. (A) T2-weighted magnetic resonance imaging (MRI) scan showing a large area of signal abnormality at the cervicomедullary junction. (B) Gadolinium-enhanced sequence demonstrating patchy enhancement of the area. "Serpentine" enhancement of the spinal cord has been described as characteristic of VZV infection.

Infections virales

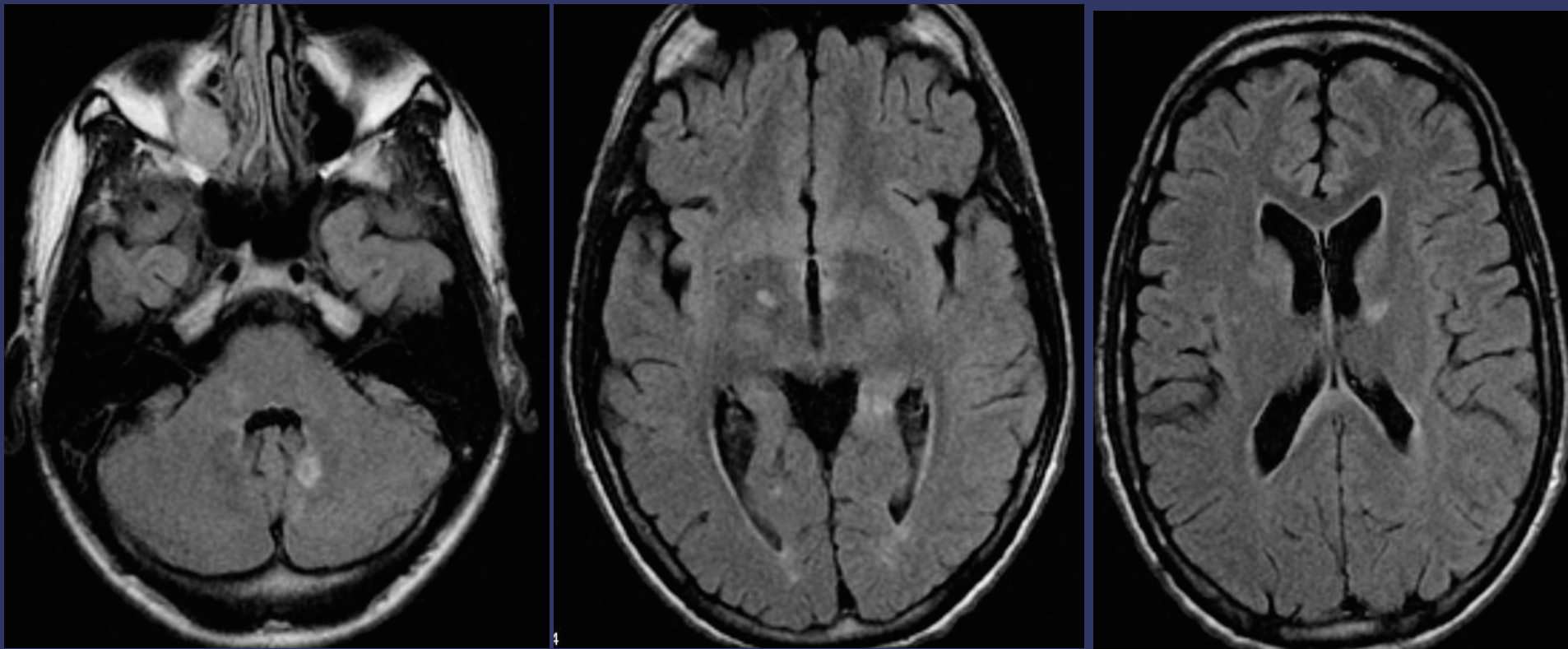
Varicelle Zona (1)



Misra UK et al. Encephalitis India

CMV

Encéphalites (lésions périventriculaires), myélites



Infections virales

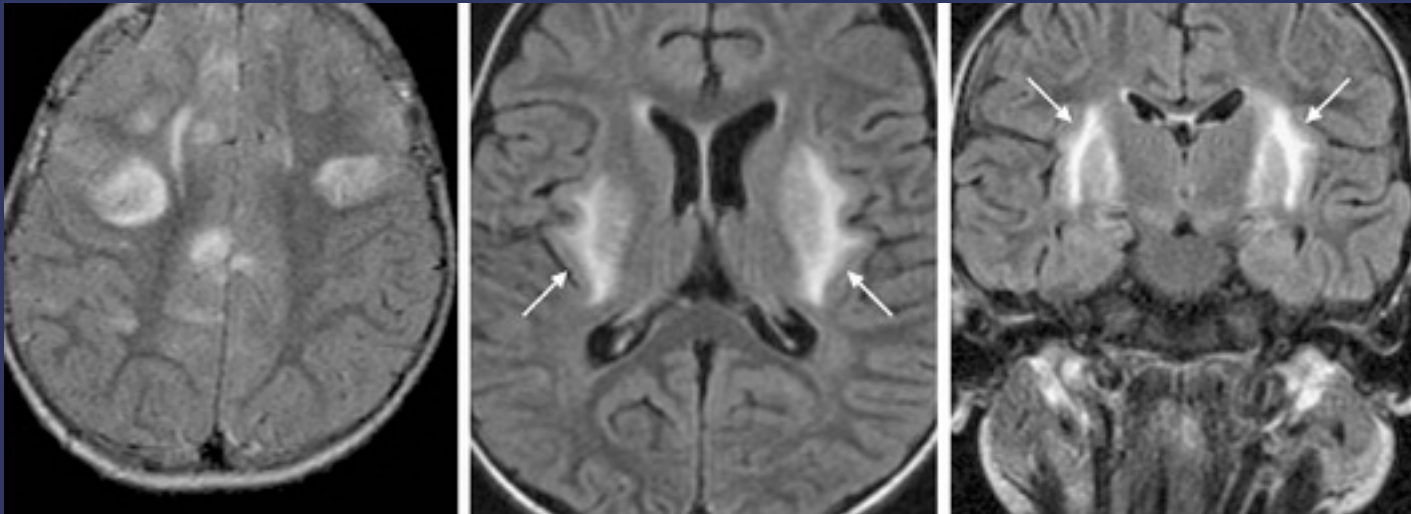
EBV

Encéphalites Myélites Polyradiculonévrites

Post-transplant lymphoproliferative disease (PTLD))

Infections virales

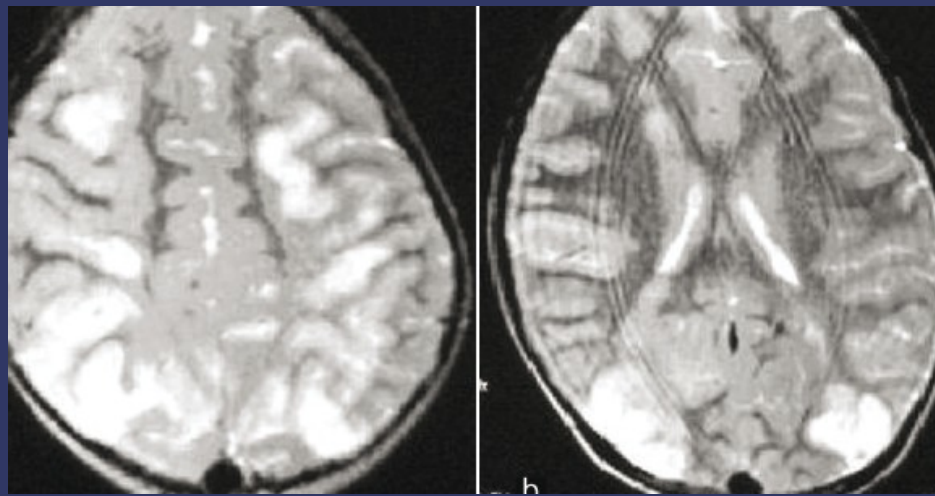
EBV



EBV encephalitis. *a* Axial FLAIR image demonstrates abnormal T2-W signal in the bilateral frontal cortex and subcortical white matter. This is a typical pattern for viral encephalitis. The multiple vascular territories involved make ischemia unlikely. Additionally, a child presenting with multifocal strokes of this magnitude would have a profound clinical presentation with fixed neurologic deficits. *b, c* Axial (*b*) and coronal (*c*) FLAIR images demonstrate increased signal in the bilateral basal ganglia reflecting the unique tropism of EBV for this area

Infections virales

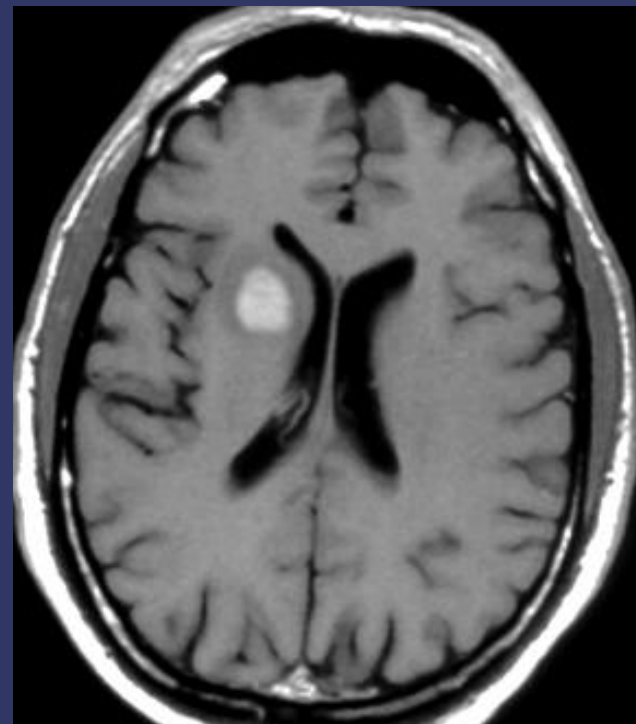
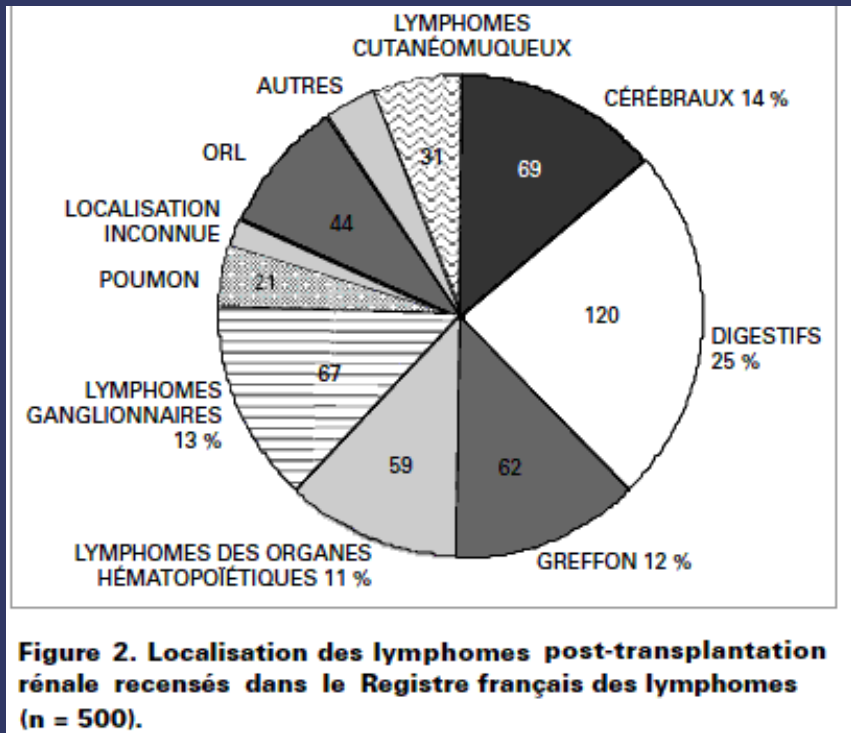
EBV



Kalita J et al. Neurol India 2011

Infections virales

EBV



JCV

Polyoma Virus John Cunningham (1)

Variabilité des présentations cliniques et IRM

hémisphères + cervelet cellules granulaires + JCV encephalopathie + épilepsie

Greffes de moelle allogéniques

LCR a cellulaire

PCR LCR

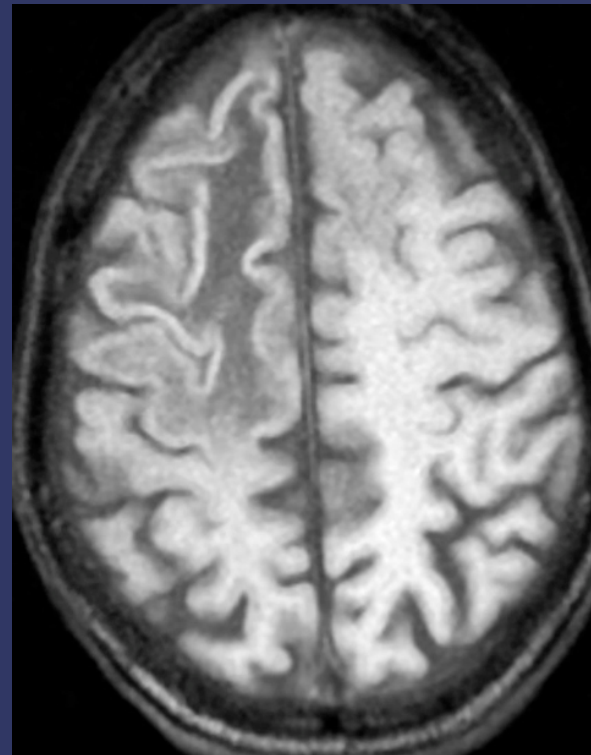
Biopsie

Cidovofir, mefloquine, mirtazapine (R serotoninine)

58% de survie à 1 an

JCV

Polyoma Virus John Cunningham (2)



Polyoma Virus John Cunningham (3)

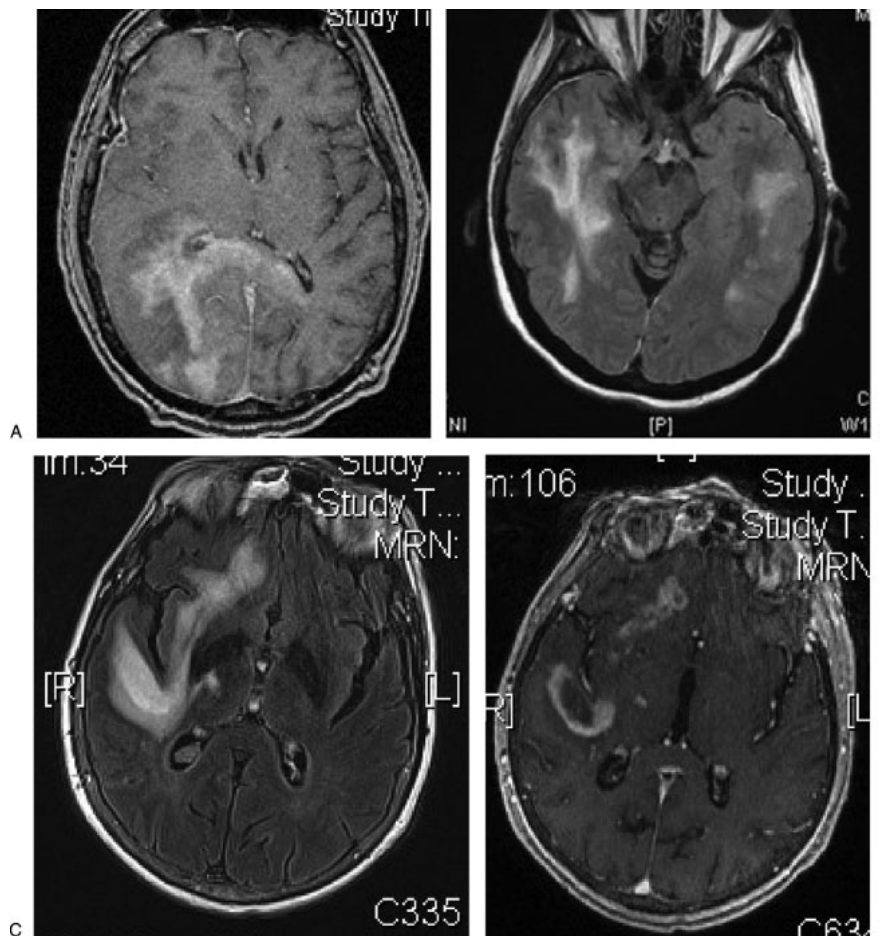
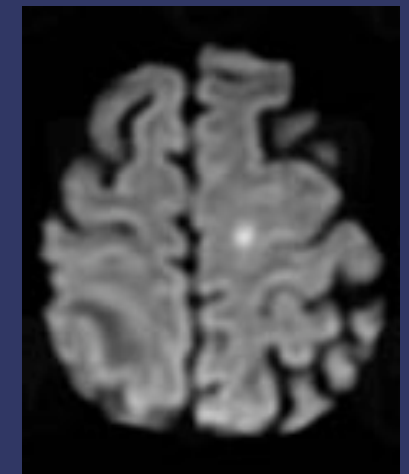
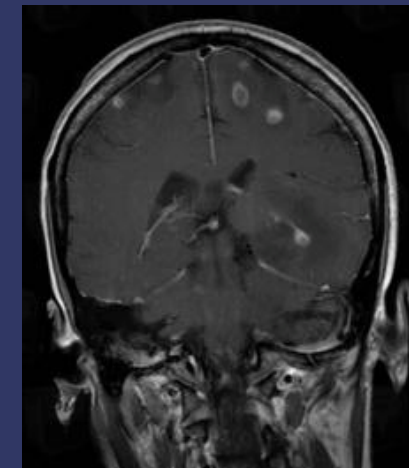
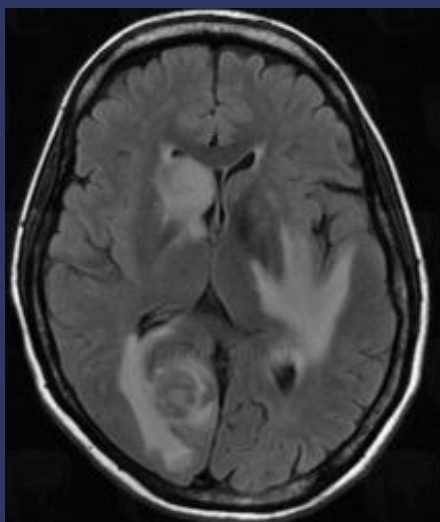
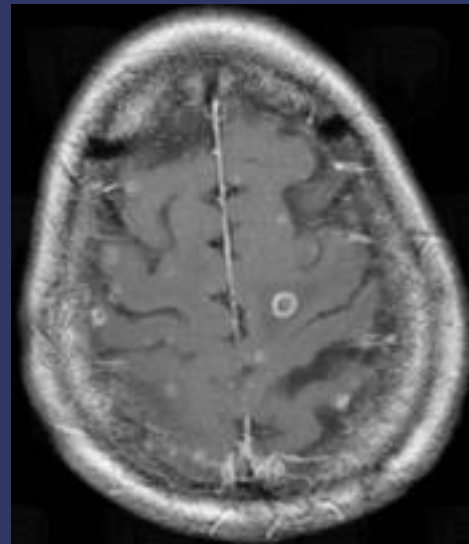
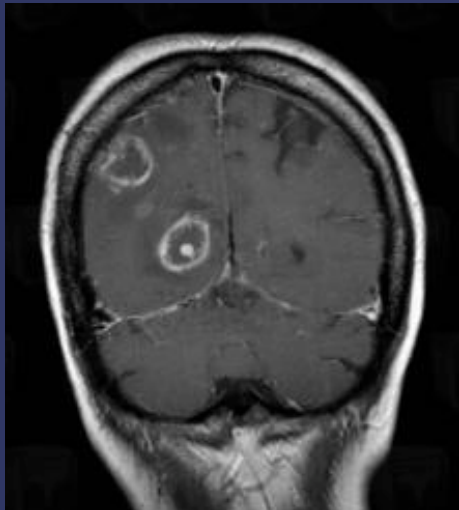


Figure 5 The variable radiographic manifestations of progressive multifocal leukoencephalopathy (PML). (A) Magnetic resonance imaging (MRI) with gadolinium of patient with rapid rise in CD4+ count who developed hemianopia and hemineglect syndrome shows a large enhancing lesion crossing the splenium that was thought to be glioblastoma but on biopsy was John Cunningham virus positive consistent with progressive multifocal leukoencephalopathy with immune reconstitution inflammatory syndrome (PML-IRIS). (B) Fluid-attenuated inversion recovery (FLAIR) MRI of patient who has received three courses of cyclophosphamide, doxorubicin hydrochloride, vincristine sulfate, and prednisone- (CHOP-) rituximab for non-Hodgkin lymphoma and presented with progressive memory and language disturbance. FLAIR image shows multicentric areas of white matter abnormality that on gadolinium study (not shown) did not enhance and which at postmortem examination were PML. (C) FLAIR and (D) gadolinium-enhanced MRI showing atypically enhancing lesions of biopsy-proven PML in a patient with low

INFECTIONS PARASITAIRES

Toxoplasmose (1)

Allogreffes et dépletions T



INFECTIONS BACTERIENNES

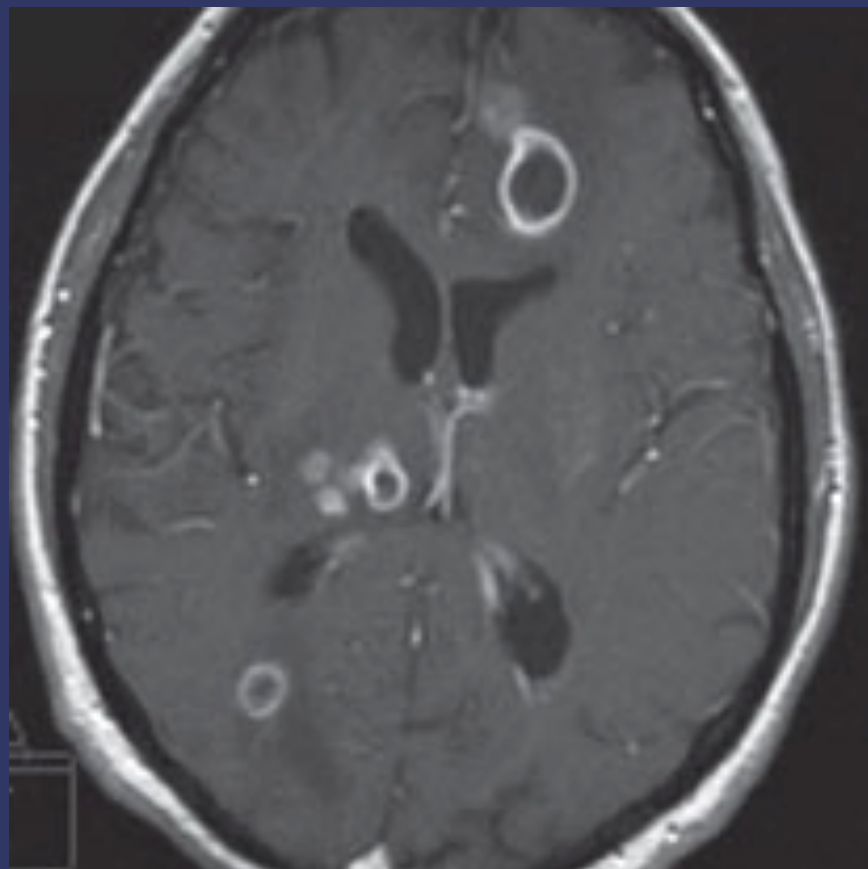
Infections bactériennes

Nocardioses

Infection opportuniste gram +
altération immunité cellulaire
(greffes, stéroïdes)

Atteinte SNC dans environ 40% des nocardioses
(surtout si infection pulmonaire associée)

Jusqu'à 50% de mortalité chez l'immunodéprimé



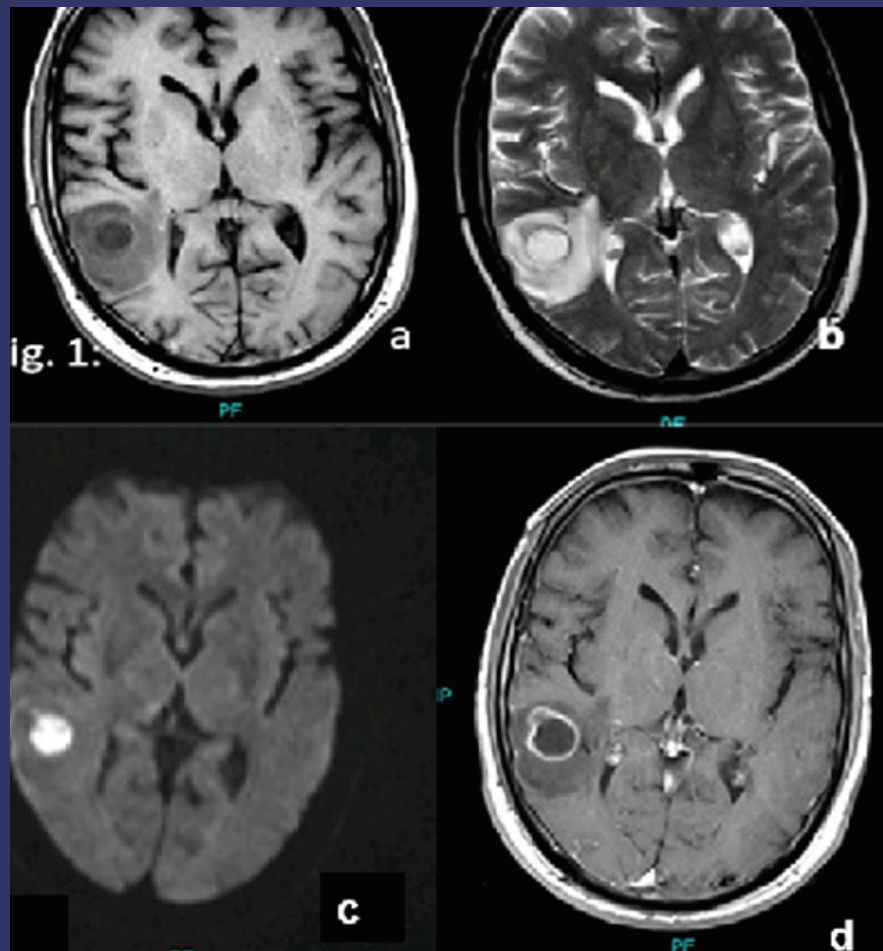
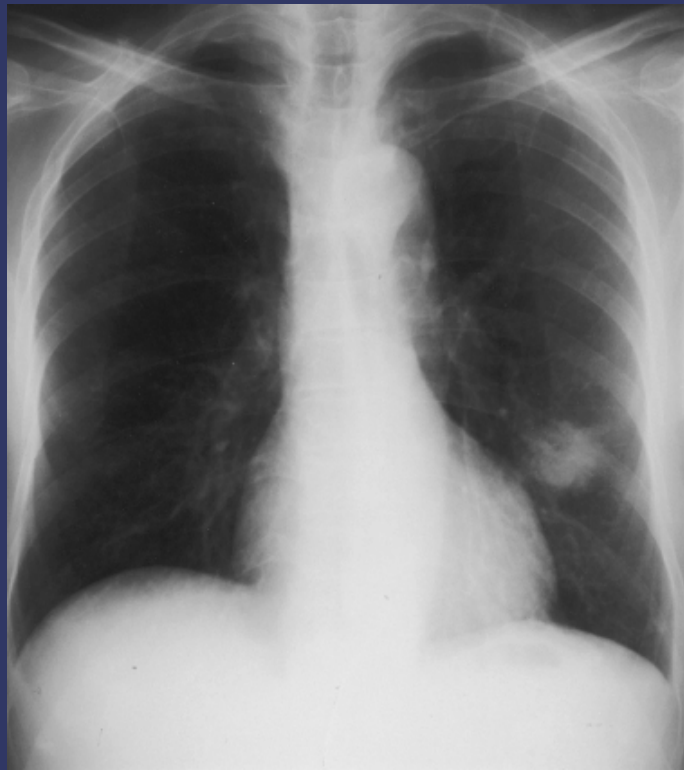


Figure-1: (a) T1-Weighted Axial image shows hypointense lesion in right parietal cortex. (b) T2- weighted axial image shows a lesion with central hyperintensity and peripheral low signal intensity rim, associated with surrounding edema. (c) Diffusion weighted axial image shows restricted diffusion. (d) Post contrast T1- weighted axial image shows a cystic mass (abscess) with rim enhancement, associated with perifocal edema with mass effect on the occipital horn of right lateral ventricle.

Infections bactériennes

Listérieses

Bactérie saprophyte G + intracellulaire facultative

Invasivité (placenta, SNC)

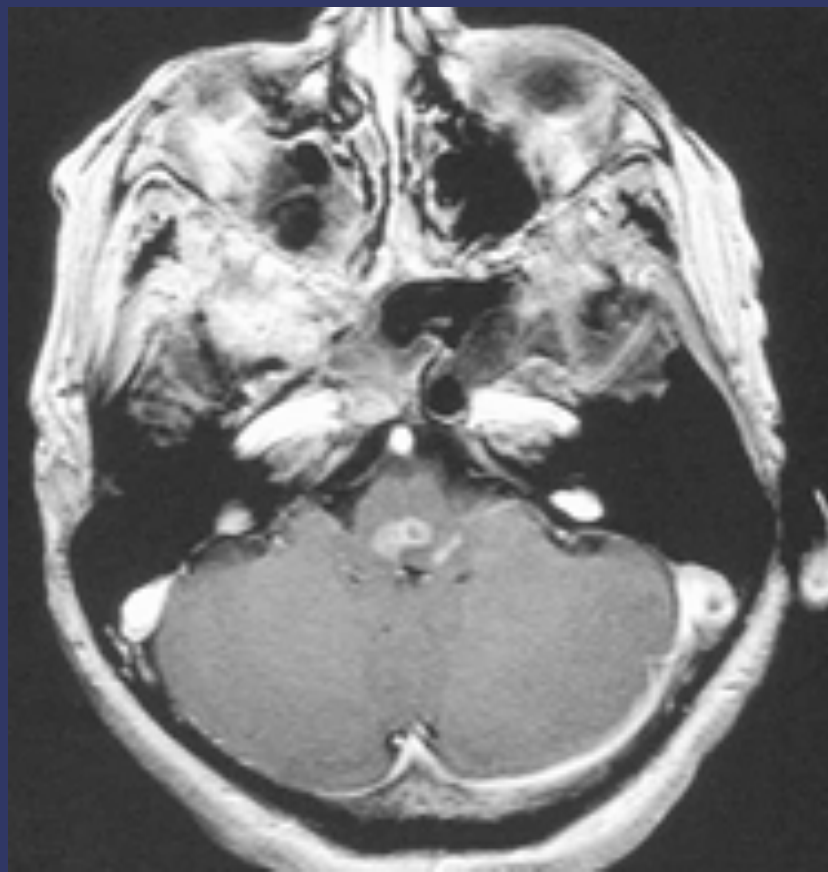
Majorité de patients fragilisés

Moins de 300 cas par an en France

25 à 30 % de mortalité

40% de séquelles neurologiques

Tattevin P et al 2009 Lettre de l'infectiologue



Infections bactériennes

Tuberculose (1)

Patients immuno compétents et immunodéprimés

SN

Méningites subaigues ou aigues

Nerfs craniens (extension aux cisternes de la base)

Abcès focaux (tuberculome)

Vascularite

Infections bactériennes

Tuberculose (2)

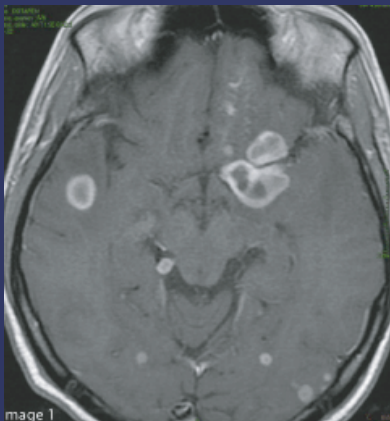


Image 1

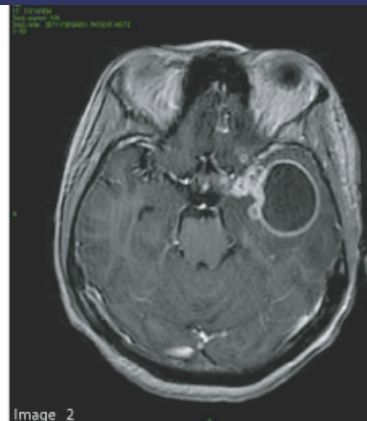
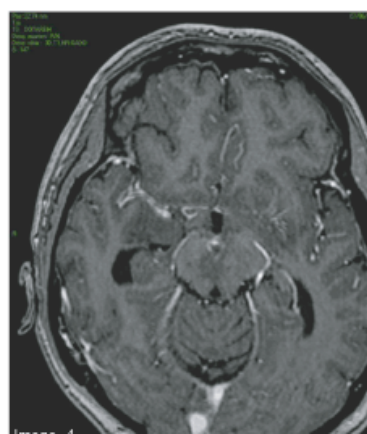
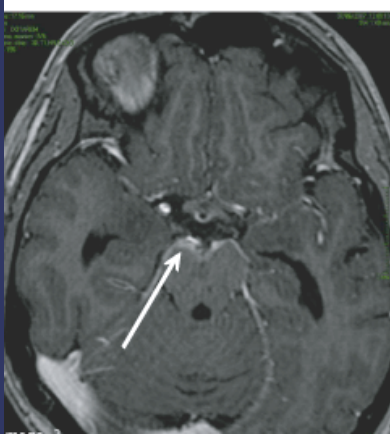


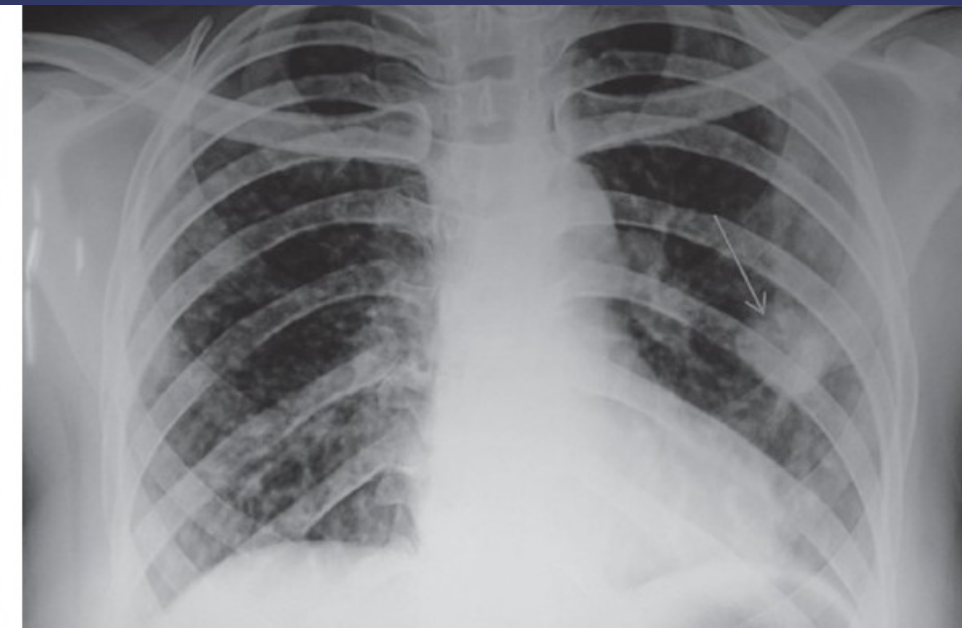
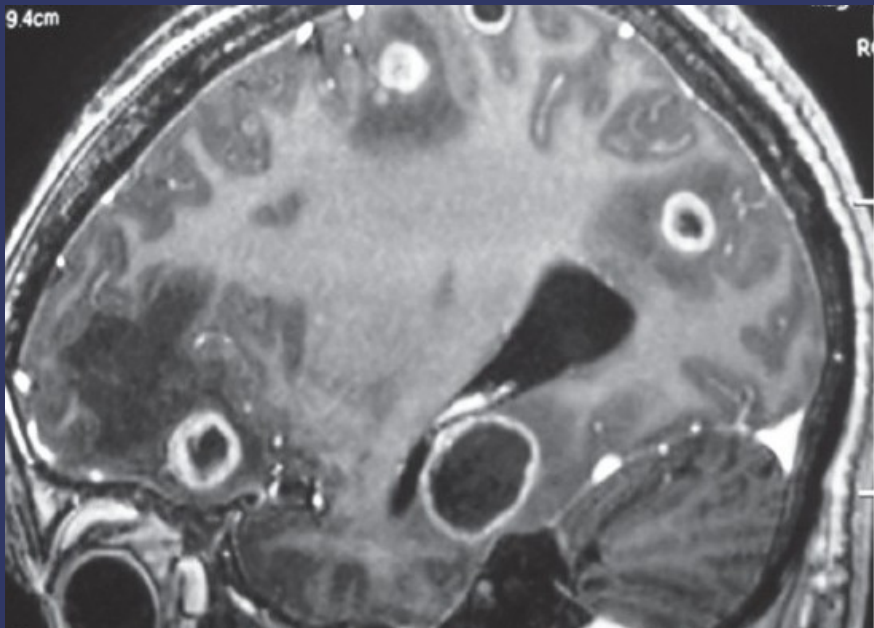
Image 2



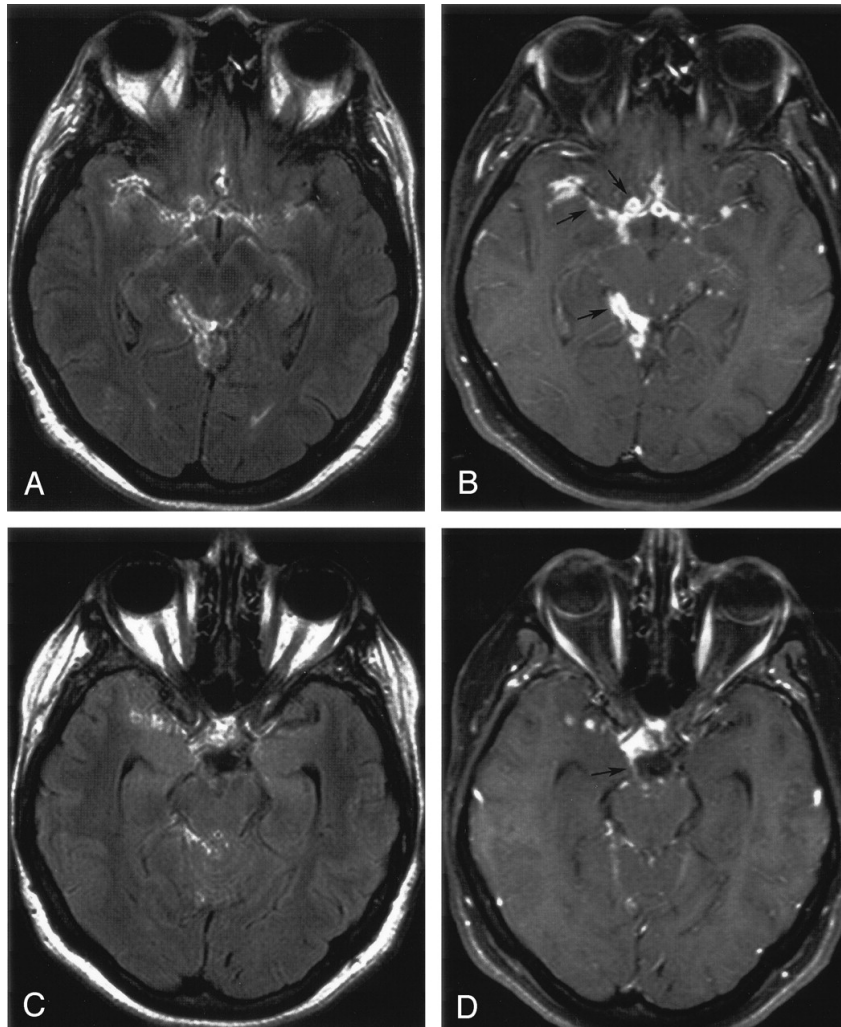
Infections bactériennes

Tuberculose (3)

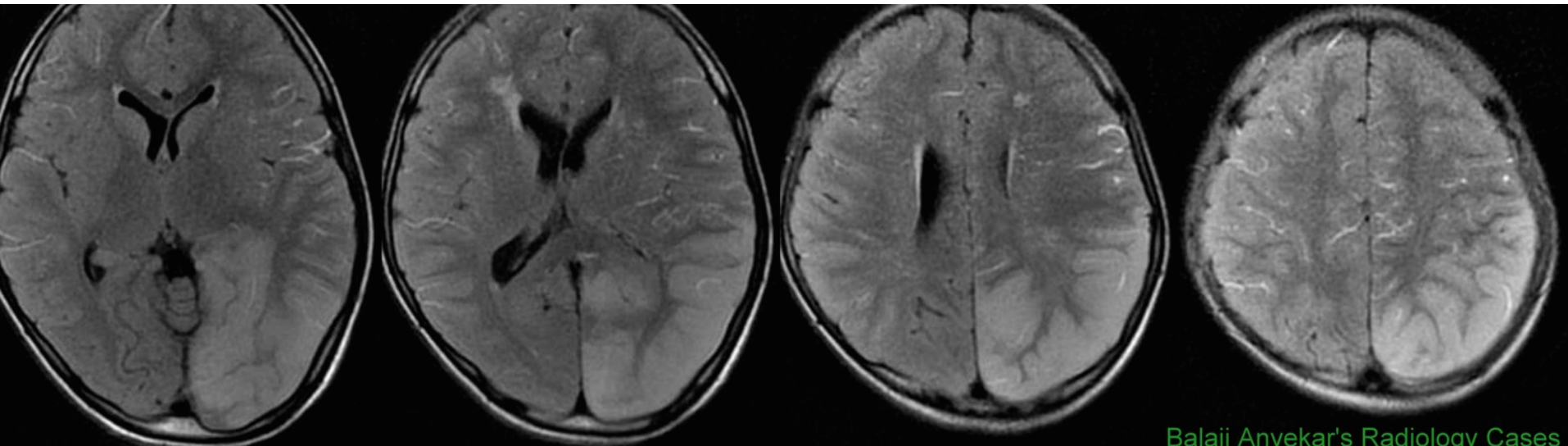
Miliaire



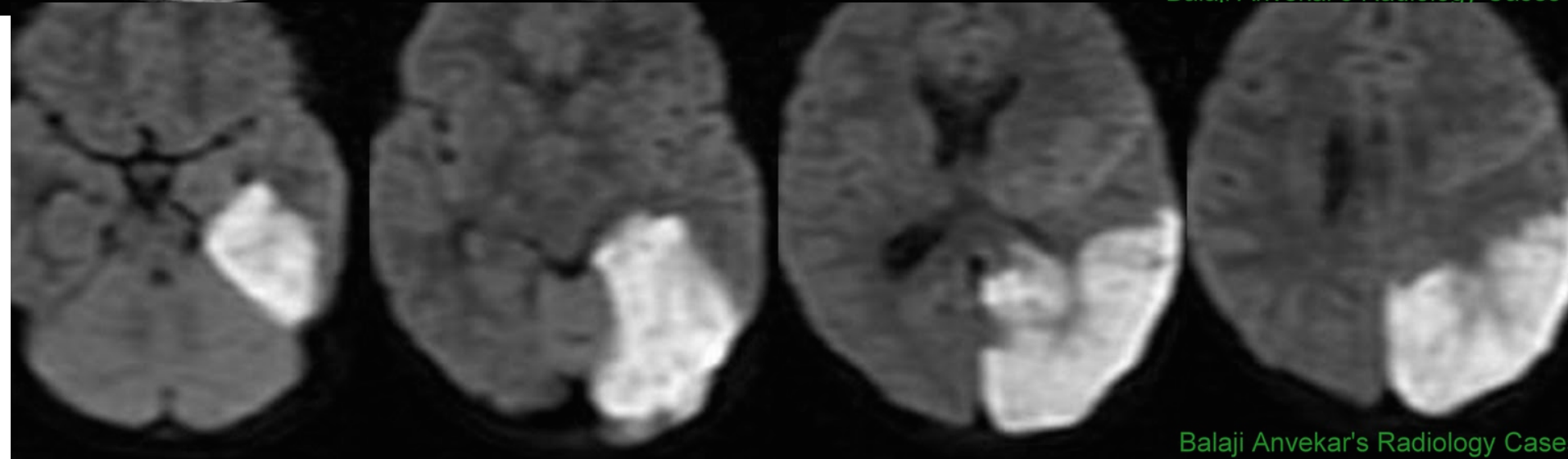
Tuberculous meningitis.A, Contrast-enhanced FLAIR image shows mildly enhancing subarachnoid space lesions in the basilar cisterns, with extension into the sylvian fissures bilaterally, right ambient cistern, and quadrigeminal cistern.B, Contrast-enhanced T1...



Galassi W et al. AJNR Am J Neuroradiol 2005;26:553-559



Balaji Anvekar's Radiology Cases



Balaji Anvekar's Radiology Cases

Neuroradiology cases